

**ПРИМЕНЕНИЕ МОДЕЛИ ВТОРОГО ДИССИПАТИВНОГО СЛОЯ  
И СЛЕДА ДЛЯ ОПИСАНИЯ КВАЗИСТАЦИОНАРНОГО  
КАВИТАЦИОННОГО ОБТЕКАНИЯ ПЛОСКОЙ ПЛАСТИНЫ**

Г. И. Таганов

(Москва)

Модель второго диссипативного слоя и следа [1] для стационарного обтекания тел вязкой несжимаемой жидкостью применена для квазистационарного отрывного обтекания плоской пластины в широком диапазоне углов атаки  $\alpha_{kp} < \alpha \leq 90^\circ$  [2]. Сопоставление полученных в [2] (см. также [3]) зависимостей  $c_x = f(\alpha)$  и  $c_y = f(\alpha)$  с известными экспериментальными показало, что модель дает приблизительно 15%-ное преуменьшение величин  $c_x$  и  $c_y$  в таком диапазоне углов атаки. Объяснение этого преуменьшения в [2] тем обстоятельством, что ярко выраженное нестационарное в условиях опыта течение заменяется в модели квазистационарным и не учитывается энергия пульсационного движения жидкости в ближнем следе, получило в дальнейшем прямое экспериментальное подтверждение [4]. Подавление нестационарных пульсаций за плоской пластиной (закрепленное экспериментально понижение частоты схода вихрей), обтекаемой под углом  $\alpha = 90^\circ$ , с помощью разделяющей пластины, имеющей длину порядка хорды и расположенной вдоль плоскости симметрии течения в срывной зоне, приводит в пределе к понижению  $c_x$  также приблизительно на 15%, т. е. к теснейшему, насколько это можно ожидать от гидродинамической модели, соглашению теории с опытом. Если вспомнить, что проблема теоретического определения силы сопротивления плоской пластины, расположенной перпендикулярно направлению набегающего потока, привлекала внимание физиков и гидродинамиков XIX—XX вв., успех модели второго диссипативного слоя и следа в решении ее обнадеживает и дает основания для применения модели при решении родственной гидродинамической проблемы (предмета настоящей работы) — теоретического определения силы сопротивления, действующей на пластину при отрывном кавитационном обтекании в зависимости от определяющего параметра — числа кавитации  $Q = 2(p_\infty - p_k)/\rho v_\infty^2$  ( $p_k$  — давление в каверне за пластиной).

Может возникнуть вопрос, чем мотивирована необходимость разработки нового (энергетического) подхода к старой гидродинамической проблеме, получившей к середине XX в. теоретическое описание с помощью любой из четырех математических моделей, которые несколько различаются между собой при  $Q \neq 0$ , но стремятся при  $Q \rightarrow 0$  к классической модели Гельмгольца — Кирхгофа  $c_x = 2\pi/(\pi + 4) \approx 0,88$  и находятся в неплохом соответствии с данными опыта в диапазоне чисел кавитации  $0 < Q < 1,0$ .

Приведем соображения, мотивирующие необходимость нового подхода.

Во-первых, уже давно известно, что отрывное кавитационное течение нестационарное и что нельзя построить стационарное течение несжимаемой жидкости, способное достоверно описать наблюдаемое в опытах при  $Q \neq 0$  течение, не вступая в противоречие с физической реальностью. Поскольку известные математические модели обтекания пластины при  $Q \neq 0$  стационарные, то получаемые с их помощью значения силы сопротивления могут рассматриваться, строго говоря, лишь как условные: в моделях Рябушинского и Жуковского — Рошко из-за влияния на исследуемое тело других тел, искусственно помещаемых в поток при модельном описании, в моделях Эфроса и Тулина из-за влияния течения на других листах римановой поверхности.

Во-вторых, известные математические модели пренебрегают существованием за системой тело — каверна следа жидкости с потерянным импульсом, из-за чего в теории теряется обратная связь, существующая в реальном кавитационном течении между толщиной вытеснения, толщиной потери импульса следа и значением коэффициента сопротивления, препятствующая неограниченному (в теории) росту  $c_x$  с увеличением  $Q$ .

Нетривиальность приведенных соображений, в особенности первого из них об условности значения  $c_x$  в схеме Эфроса, где его значение может быть определено с помощью уравнения сохранения количества движения, требует разъяснений.

**1. Применение уравнения сохранения количества движения в схеме Эфроса кавитационного обтекания симметричного цилиндрического тела, как известно [5], позволяет определить силу  $X_J$ , действующую на тело в направлении, совпадающем с направлением скорости набегающего потока  $v_\infty$ :**

$$(1.1) \quad X_J = \rho q(v_\infty + v_k).$$

Здесь  $q$  — расход жидкости, поступающий в возвратную струйку в единицу времени ( $q = \delta v_k$ ,  $\delta$  — толщина возвратной струйки);  $v_k$  — ско-

рость жидкости на границе каверны и струйки, связанная с определяющим параметром задачи  $Q$  соотношением, следующим из уравнения Бернулли  $v_k/v_\infty = \sqrt{Q+1}$ ; индекс  $J$  указывает, что сила  $X$  определена из уравнения количества движения (импульса).

Величину  $X$  можно записать в виде суммы двух членов

$$X_J = X_1 + X_2.$$

Первый из них представляет реакцию стока мощности  $q$ , помещенного в неограниченный плоско параллельный поток несжимаемой жидкости, а второй — реактивную силу возвратной струйки, движущейся навстречу набегающему потоку. Таким образом, течение Эфроса около тела эквивалентно жесткой системе, состоящей из стока, воспринимающего жидкость со всех сторон, и реактивного сопла, направляющего поступающую в сток жидкость с постоянной скоростью  $v_k$  в одном направлении — вперед по потоку.

Определим теперь силу  $X_E$ , действующую на эту систему, из закона сохранения энергии: работа силы  $X_E$  в единицу времени должна быть равна соответствующему этому времени приросту кинетической энергии жидкости в возвратной струйке, если система движется с постоянной скоростью  $v_\infty$  в покоящейся па удалении от системы жидкости. Прирост кинетической энергии возвратной струйки равен  $\rho q(v_\infty + v_k)^2/2$ , и, следовательно,

$$X_E v_\infty = \rho q(v_\infty + v_k)^2/2,$$

откуда

$$(1.2) \quad X_E = \rho q \frac{(v_\infty + v_k)^2}{2v_\infty}.$$

Из (1.1) и (1.2) можно получить соотношение между  $X_E$  и  $X_J$ :

$$(1.3) \quad X_E/X_J = (1 + \bar{v}_k)/2, \quad \bar{v}_k = v_k/v_\infty.$$

Как видно из (1.3),  $X_E = X_J$  только при  $\bar{v}_k = 1$ , т. е. при  $Q = 0$ . При  $Q \neq 0$   $X_E > X_J$  и их разница растет с увеличением  $Q$ .

Инвариантность силы  $X_J$  при переходе от системы координат, движущейся вместе с рассматриваемой системой, к системе координат, связанной с покоящейся жидкостью, следует из принципа Галилея, поэтому несовпадение значений  $X_J$  и  $X_E$  в последнем случае возможно только тогда, когда имеется помимо работы силы  $X_J$  дополнительный источник энергии  $E_R$ , подводимой к системе, и закон сохранения энергии надо записывать в виде

$$X_J v_\infty + E_R = \rho q(v_\infty + v_k)^2/2.$$

Используя (1.1), определим величину дополнительно подводимой энергии  $E_R = \rho q(v_k^2 - v_\infty^2)/2$ .

Таким образом, работа силы  $X_J$  обеспечивает только образование возвратной струйки со скоростью жидкости  $v_\infty$ , в то время как разгон жидкости в ней от  $v_\infty$  до  $v_k$  происходит за счет подвода  $E_R$  со стороны второго листа римановой поверхности модели Эфроса. Поэтому силу  $X_J$ , действующую на тело в модели Эфроса, нельзя рассматривать как внешнюю силу сопротивления изолированного тела  $X$ . Она является внутренней силой, как в моделях Рябушинского и Жуковского — Рошко, где течение, хотя и происходит на одном листе римановой поверхности, образуется не изолированным телом, а системой тел, включающей дополнительные модельные тела.

2. Рассмотрим необходимость учета влияния вытесняющего действия следа за системой тела — каверна на глобальное течение, которое определяет  $q$  в возвратной струйке и, согласно (1.1) и (1.2), при заданном значении  $v_k$  — величины  $X_J$  и  $X_E$ .

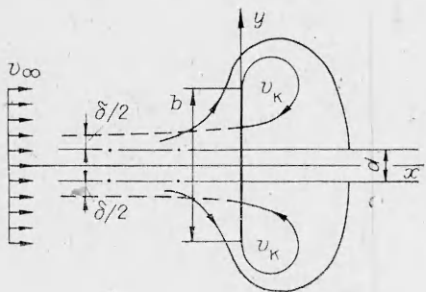


Рис. 1

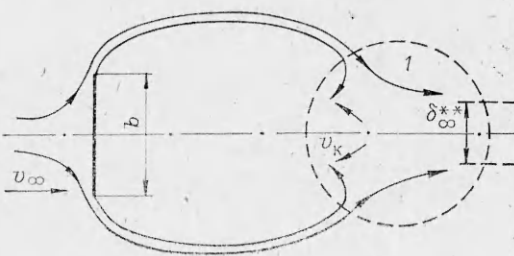


Рис. 2

Для учета влияния вытесняющего действия следа на глобальное течение с возвратной струйкой введем в рассмотрение новую двухпараметрическую схему течения, которая в отличие от однопараметрической схемы Эфроса (параметр  $Q$ ) включает также зависимость глобального течения от второго параметра — толщины вытеснения следа  $d/b$ , моделируемого двумя параллельными плоскими пластинами, симметрично расположеннымми за телом (рис. 1). Возвратная струйка в этой схеме расщепляется на две отдельные, суммарную толщину которых на удалении от тела обозначим  $\delta$ . Видно, что новое двухпараметрическое семейство течений промежуточное между однопараметрическим семейством течений Эфроса и однопараметрическим (параметр  $\bar{d}$ ) семейством течений Жуковского — Рошко. Методом особенностей С. А. Чаплыгина, применяемым [5] для отыскания комплексного потенциала обтекания плоской пластины по схеме Эфроса, в [6] найден комплексный потенциал обтекания по новой схеме плоской пластины, также расположенной перпендикулярно направлению скорости в бесконечно удаленной точке и вычислены зависимости толщины возвратной струйки  $\bar{\delta} = f(\bar{d})$  для ряда значений  $\bar{v}_k = f(Q)$  (рис. 3 в [6]). При  $\bar{v}_k = 1$  ( $Q = 0$ ) суммарная толщина возвратной струйки не зависит от толщины вытеснения следа (бесконечно протяженная каверна в этом случае предельно ослабляет влияние отдельных областей течения друг на друга); однако при  $\bar{v}_k > 1$  ( $Q > 0$ ) влияние следа можно оценить как влияние первого порядка: при конечной толщине вытеснения следа  $\bar{d}$  толщина возвратной струйки уменьшается до нуля. Этим значениям параметров  $\bar{v}_k$  и  $\bar{d}$  соответствует течение по схеме Жуковского — Рошко. Таким образом, обратная связь между толщиной вытеснения следа и суммарной толщиной возвратной струйки, определяющей согласно (1.1) и (1.2) силу, действующую на пластину, существует и усиливается с ростом  $Q$ .

3. Проведем теоретическое определение силы сопротивления, действующей на плоскую пластину при кавитационном обтекании в зависимости от  $Q$ . Выше разъяснена условность коэффициентов сопротивления, получаемых в известных стационарных схемах кавитационного обтекания тел, и необходимость учета влияния вытесняющего действия следа на глобальное течение. На рис. 2 представлена схема реального кавитационного обтекания плоской пластины при  $Q > 0$ . Течение в конце каверны (область 1) нестационарное и сильно перемежаемое: чередуются между собой режимы течения с возвратной струйкой и с ее разрушением (путем смешения с окружающей жидкостью). В этой области происходит диссипация большей части кинетической энергии жидкости возвратной струйки и формируется след (область жидкости с потерянным в направлении набегающего потока импульсом), вытесняющее действие которого влияет на глобальное потенциальное течение.

В квазистационарной модели нестационарного течения принимаем, что в области 1 происходит диссипация всего прироста (относительно покоящейся жидкости на удалении от тела) кинетической энергии жидкости в возвратной струйке в единицу времени  $\rho q(v_\infty + v_k)^2/2$  и, поскольку

(в отличие от стационарного течения в схеме Эфроса, происходящего на двух листах римановой поверхности) отсутствует подвод энергии  $E_R$ , единственным источником энергии остается работа силы сопротивления тела  $X_E v_\infty$ . Тогда из закона сохранения энергии

$$(3.1) \quad X_E v_\infty = \rho q (v_\infty + v_k)^2 / 2$$

следует выражение

$$(3.2) \quad X_E = \rho q (v_\infty + v_k)^2 / 2v_\infty,$$

совпадающее по виду с (1.2). Однако в (3.2) толщина возвратной струйки  $\delta = q/v_k$  зависит от толщины вытеснения следа  $\delta_\infty^*$ , поэтому  $X_E$  при заданном значении  $v_k$  — функция только  $\delta_\infty^*$ . С другой стороны, связь между силой сопротивления  $X$ , действующей на тело в неограниченном потоке, и толщиной потери импульса следа  $\delta_\infty^{**}$  дает известное соотношение, справедливое и для реального кавитационного течения:

$$(3.3) \quad X = \rho v_\infty^2 \delta_\infty^{**} = \rho v_\infty^2 \delta_\infty^*.$$

Замыкающее условие модели второго диссипативного слоя и следа

$$(3.4) \quad X_E (\delta_\infty^*) = X (\delta_\infty^*)$$

позволяет определить  $X$  и  $\delta_\infty^*$  при заданном значении  $v_k$ . Приведем (3.2) — (3.4) к безразмерному виду

$$(3.5) \quad c_{xE} = \bar{\delta} (\bar{\delta}_\infty^*) \bar{v}_k (1 + \bar{v}_k)^2;$$

$$(3.6) \quad c_x = 2\bar{\delta}_\infty^*;$$

$$(3.7) \quad c_{xE} (\bar{\delta}_\infty^*) = c_x (\bar{\delta}_\infty^*),$$

где  $\bar{\delta} = \frac{\delta}{b}$ ;  $\bar{\delta}_\infty^* = \frac{\delta_\infty^*}{b}$ ;  $\bar{\delta}_\infty^{**} = \frac{\delta_\infty^{**}}{b}$ ;  $c_x = \frac{2X}{\rho v_\infty^2 b}$ ;  $c_{xE} = \frac{2X_E}{\rho v_\infty^2 b}$ ;

$b$  — характерный размер тела.

На рис. 3 в плоскости  $(c_x, c_{xE}; \bar{\delta}_\infty^{**})$  представлена зависимость (3.5), построенная по данным рис. 3 из [6] для обтекания плоской пластины с хордой  $b$  при некотором заданном значении  $\bar{v}_k$ . Точка пересечения этой зависимости с прямой (3.6) удовлетворяет замыкающему условию (3.7) и является решением задачи (линии 1, 2 отвечают  $(c_{xE})_{\bar{v}_k} = \text{const} = f(\bar{\delta}_\infty^{**})$ ,  $c_x = 2\bar{\delta}_\infty^{**}$ ).

На рис. 4 приведены полученная указанным способом зависимость коэффициента сопротивления плоской пластины  $c_x = f(Q)$  и для сравнения известная зависимость  $c_{xJ} = f(Q)$  для плоской пластины, обтекаемой по схеме Эфроса (линии 4, 1).

Как видно, при  $Q = 0$  модель второго диссипативного слоя и следа и расчет по схеме Эфроса дают одинаковые значения коэффициента сопротивления плоской пластины, совпадающие с классическим результатом Кирхгофа  $c_x = 2\pi/(\pi + 4) \approx 0,88$  (точка 5). В диапазоне  $0 < Q \leq 1$  (для которого имеются экспериментальные данные по величине  $c_x$  плоской пластины) модельная зависимость  $c_x = f(Q)$  отклоняется и идет ниже линейной зависимости  $c_{xJ} = f(Q)$ , рассчитанной по схеме Эфроса, а экспериментальные точки оказываются приблизительно посередине между ними. При  $Q > 1$  модельная зависимость  $c_x = f(Q)$  в отличие от неограниченно возрастающей с ростом  $Q$  зависимости  $c_{xJ} = f(Q)$  асимптотически стремится при  $Q \rightarrow \infty$  к конечному пределу  $c_x = 2,0$  (линия 2).

Обнаружение конечного предела для коэффициента сопротивления пластины при кавитационном ее обтекании (такого, величина которого ( $c_x = 2,0$ ) точно соответствует известному из экспериментов значению коэффициента сопротивления плоской пластины при некавитационном отрывном обтекании в однофазной жидкости) проливает свет на существование

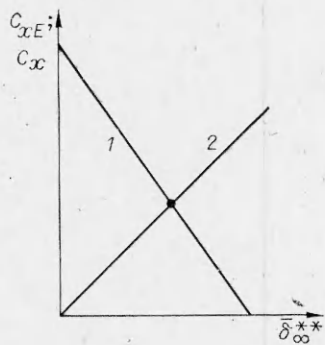


Рис. 3

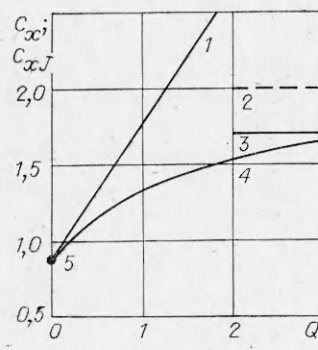


Рис. 4

вание связи между кавитационными и некавитационными отрывными течениями. Об этом же свидетельствует и сопоставление на рис. 4 модельной зависимости  $c_x = f(Q)$  с величиной  $c_x = 1,7 = \text{const}$  (линия 3), полученной в [2] также с помощью модели второго диссипативного слоя и следа для квазистационарного отрывного обтекания пластины однофазной несжимаемой жидкостью. Близость модельной зависимости  $c_x = f(Q)$  при  $Q = 3$  к модельному  $c_x = 1,7$  и экспериментальным значениям  $c_x$ , наблюдаемым при отрывном обтекании пластины в однофазной жидкости, а также «белое пятно» в экспериментах с кавитационным обтеканием тел при  $Q > 1,4$  делают правдоподобным утверждение, что в этом диапазоне чисел кавитации происходит разрушение квазистационарной каверны и течение переходит в нестационарное отрывное, характерное для однофазной жидкости.

Таким образом, энергетический подход, развитый в настоящей работе, позволяет физически достоверно описывать реальное кавитационное обтекание тел во всем диапазоне изменения числа кавитации от классического предела ( $Q = 0$ ) до физического, при котором происходит разрушение. Конечно, это описание не может быть проведено с такой же полнотой, какая достигается при силовом подходе (в случаях, когда он может быть реализован). Так, энергетический подход, используемый в модели второго диссипативного слоя и следа, позволяет найти силу сопротивления, действующую на тело, по не дает информации о том, как распределены давление и напряжение трения на поверхности тела. Однако, по-видимому, лучше иметь физически достоверное значение коэффициента сопротивления тела и не знать распределения давления по нему, чем иметь распределение давления по телу, но знать, что оно имеет условный характер.

#### ЛИТЕРАТУРА

1. Таганов Г. И. О втором диссипативном слое и следе в вязком течении около тела // Учен. зап. ЦАГИ.— 1970.— Т. 1, № 6.
2. Таганов Г. И. Модель происхождения циркуляции у крыла бесконечного размаха с одной задней кромкой при больших числах Рейнольдса.— М., 1980.— (Препринт/ Сектор механики неоднородных сред АН СССР; № 5).
3. Таганов Г. И. Обоснование соотношения  $\Pi = \rho v_\infty^2 \delta_{2\infty}^{**}$ , применяемого в модели происхождения циркуляции у крыла бесконечного размаха с острой задней кромкой // Учен. зап. ЦАГИ.— 1986.— Т. 17, № 5.
4. Apelt C. J., West C. S. The effects of wake splitter plates on bluff-body flow in the range  $10^4 < R < 5 \cdot 10^4$ . Pt 2 // J. Fluid Mech.— 1975.— V. 71, pt 1.
5. Гуревич М. И. Теория струй идеальной жидкости.— М.: Наука, 1979.
6. Садовский В. С. Об одном двухпараметрическом семействе течений жидкости около пластины при наличии возвратных струек // ПМТФ.— 1987.— № 3.

Поступила 17/IV 1986 г.